

# อินเทอร์เฟอร์โรมิเตอร์แบบไม่เคลื่อนสำหรับการวัดค่าคงที่ พิโซอิเล็กตริก

ศุภสิริ หมื่นสิทธิ์<sup>1</sup> และ ปัญญา แหน่งแก้ว<sup>2</sup>

## Abstract

Muensit, S., and Kheanumkeaw, P.

**Michelson interferometer for the piezoelectric coefficient measurements**

Songklanakarin J. Sci. Technol., 200, 24(1) : 107-115

The present work has described the Michelson interferometer which is capable of measuring the vibrational amplitudes in a sub-angstrom range. In the system, a He-Ne laser is used as a monochromatic source of light and a photodiode as a detector to convert an optical signal into an electronic one. Lock-in detections of the electronic signals are applied to relate the vibrational amplitudes to the wavelength of the laser beam. A feedback circuit is introduced in order to stabilize the sensitivity of the interferometric system. With this setup, a mechanical displacement referred to a change in thickness of a vibrating sample can be measured and the corresponding piezoelectric coefficient, i.e. the ratio of the change in sample thickness to the applied voltage, evaluated. In order to check the performance of the system, measurements on lithium niobate ( $\text{LiNbO}_3$ ) have been made and its piezoelectric coefficient  $d_{33}$  was confirmed with 2% accuracy. The piezoelectric coefficient  $d_{33}$  for lead zirconate titanate (PZT) ceramics was, therefore, determined by this interferometer and found to be 270 pm/V.

**Key words :** interferometer, piezoelectric, lithium niobate, PZT

**Department of Physics, Faculty of Science, Prince of Songkhla University, Hat Yai, Songkhla 90112 Thailand.**

<sup>1</sup>Ph.D. (Materials Physics) ผู้ช่วยศาสตราจารย์<sup>2</sup>นักศึกษาปริญญาโท ภาควิชาฟิสิกส์ คณะวิทยาศาสตร์ มหาวิทยาลัยสงขลานครินทร์ อําเภอหาดใหญ่ จังหวัดสงขลา 90112

Corresponding email : msupasar@ratree.ac.th

รับต้นฉบับ 18 ตุลาคม 2544 รับลงพิมพ์ 7 ธันวาคม 2544

## บทคัดย่อ

ศุภสิริ หมื่นลักษ์ และ ปัญญา แซน้ำแท้ว  
อินเทอร์เฟอร์โรมิเตอร์แบบไม่เคลือบสำหรับการวัดค่าคงที่พิโซอิเล็กติก  
ว. สงขลานครินทร์ วทก. 2545 24(1) : 107-115

งานวิจัยนี้กล่าวถึงอินเทอร์เฟอร์โรมิเตอร์แบบไม่เคลือบสำหรับการวัดความแม่นยำของการวัดค่าคงที่มีความสำคัญในการวัดแอลูมิจุดของสารสัมภาระในช่วงห้องกว่าอัตราเร็ว ในระบบมีเลเซอร์วีเลียม-นีอ่อนเป็นแหล่งกำเนิดแสงความถี่เดียว มีไฟโตไดโอดเป็นหัววัดสำหรับเปลี่ยนสัญญาณทางแสงเป็นสัญญาณทางอิเล็กทรอนิกส์ การตรวจจับสัญญาณทางอิเล็กทรอนิกส์แบบลือคอกินช่วยให้แอลูมิจุดของสารสัมภาระที่มีความสัมพันธ์กับความยาวคลื่นของเลเซอร์ มีการใช้งานรับสัญญาณย้อนกลับในการควบคุมระบบอินเทอร์เฟอร์โรมิเตอร์ให้มีความไวและแม่นยำ เสียดส่วนต่อตัวเวลา ค่าตัวที่ได้จากการอินเทอร์เฟอร์โรมิเตอร์นี้คือระยะจั๊บที่มีความหนาที่เปลี่ยนไปของสารตัวอย่างที่กำลังสั่นอยู่ในสถานไฟฟ้า และค่าน้ำหนักค่าคงที่พิโซอิเล็กติก  $d_{\text{วว}}$  ของลิเดียมโนไบเดตได้ผลการทดลองที่มีความแม่นยำ 2 % จึงใช้อินเทอร์เฟอร์โรมิเตอร์วัดค่าคงที่พิโซอิเล็กติก  $d_{\text{วว}}$  ของเซราโนมิคส์เดซเรอร์โดยเดาได้เท่ากับ 270 พิโคเมตร/โวลต์

วิธีการหาค่าคงที่พิโซอิเล็กติกที่มีในรายงานทางวิทยาศาสตร์และวิศวกรรมศาสตร์มีหลายวิธี เช่น วิธีการเรโซแนนซ์ (resonance method) วิธีวัดความจุไฟฟ้า (capacitance method) วิธีวางน้ำหนักโดยตรง (direct load method) วิธีการแทรกสอด (interference method) ของแสง เป็นต้น ทั้งนี้ไม่ว่าจะเป็นวิธีการใด มีทั้งข้อดีและข้อเสียซึ่งจำเป็นต้องพิจารณาร่วมกันกับลักษณะและชนิดของสารตัวอย่างก่อนทำการทดสอบ<sup>1</sup>

วิธีการแทรกสอดของแสงซึ่งเป็นวิธีที่มีความแม่นยำสูงและไม่ทำลายสารตัวอย่าง (non-destructive testing) (Hariharan, 1992) เป็นวิธีที่ใช้ในงานวิจัยนี้ ระบบทางแสงที่ใช้คือระบบอินเทอร์เฟอร์โรมิเตอร์แบบไม่เคลือบ ซึ่งมีรูปแบบในการจัดวางอุปกรณ์ทางแสงเรียบง่าย ใช้แหล่งกำเนิดแสงหลายความถี่หรือความถี่เดียว แอลูมิจุดของแสงจากแหล่งกำเนิดจะถูกแบ่งที่ตัวแบ่งแสง (beam splitter) ออกเป็น 2 ส่วน และก่อเป็น 2 ลำแสงย่อย เดินทางในแนวตั้งจากซึ่งกันและกัน ตกกระทบผิวน้ำของกระจาด

เรียบและสะท้อนกลับมารวมกันที่ตัวแบ่งแสงอันเดิม ถ้ามีการแทรกสอดแบบเสริมของลำแสงทั้งสอง จะมีรูป干涉 (interference fringe) รูปวงกลมหลายวงที่มีจุดศูนย์กลางร่วมกับปรากฏบนจาก (screen) ที่วางตั้งฉากกับทางเดินแสง (optical path) เส้นทางที่แสงแต่ละลำเดินทางจะแตกต่างกันเล็กน้อย ถ้า  $\Delta d$  เป็นผลิต่างทางเดินแสง (path length difference)  $I$  คือความเข้มแสงของรูป干涉สอด จะได้ว่า

$$I = I_1 + I_2 + 2\sqrt{I_1 I_2} \cos\left(\frac{4\pi\Delta d}{\lambda}\right) \quad (1)$$

เมื่อ  $\lambda$  คือความยาวคลื่น เมื่อกำนึงถึงกรณีที่ความเข้มแสงมีค่าสูงสุด ( $I_{\max}$ ) และต่ำสุด ( $I_{\min}$ ) สมการ (1) จะมีรูปแบบดังสมการ (2)

$$I = \frac{1}{2}(I_{\max} + I_{\min}) + \frac{1}{2}(I_{\max} - I_{\min}) \cos\left(\frac{4\pi\Delta d}{\lambda}\right) \quad (2)$$

จากสมการ (2) เมื่อ  $\cos\left(\frac{4\pi\Delta d}{\lambda}\right) = 0$  ทำให้เกิดการ

<sup>1</sup> วิธีการเรโซแนนซ์เหมาะสำหรับสารตัวอย่างที่เป็นผ่านบางหรือแห้ง มากเกิดเรโซแนนซ์ที่ความถี่สูงมาก (>100 กิโลเฮิรตซ์) ใช้สมการที่อาตัยค่าคงที่อื่นๆ หลายค่า เช่น ค่ามอคุลล์สัยดหยุ่น ค่าไดอิเล็กติก (ซึ่งมักมีค่าซึ่งกันความถี่) เป็นต้น วิธีวัดความจุไฟฟ้าทดลองได้ง่ายและใช้ความถี่ที่ต่ำกว่าเรโซแนนซ์ของสารตัวอย่างมากๆ เหมาะสำหรับสารตัวอย่างที่รุกคีทางผสก (crystal orientation) แน่นอน วิธีวางน้ำหนักแก่สารตัวอย่างเป็นการทำไฟเกิดประจุไฟฟ้าที่ผิวน้ำส่องต้านและวัดความต่างศักย์ด้วยอุณหภูมิสารตัวอย่าง มักมีการรั่วไหลของประจุในอากาศ ทำให้การวัดขาดความแม่นยำ (Mason, 1950)

เปลี่ยนแปลงที่มากที่สุด (maximum change) ของความเข้มแสง ค่าความเข้มแสงที่ได้จากเงื่อนไขนี้คือ

$$I = \frac{1}{2}(I_{\max} + I_{\min}) \quad (3)$$

และค่า  $\Delta d$  ที่สอดคล้องกับสมการ (3) คือ

$$\Delta d = (2n+1) \frac{\lambda}{8}, \quad n = 0, 1, 2, \dots \quad (4)$$

จากหลักการพื้นฐานของอินเทอร์เฟอร์โรมิเตอร์แบบไม่เคลือบข้างด้าน มีการพัฒนา (Zhang *et al.*, 1988) ระบบอินเทอร์เฟอร์โรมิเตอร์ให้ล้ำแสงหนึ่งต่อระบบสารที่ต้องการวัดค่าคงที่พิโซอิเล็กตริก อีกล้ำแสงหนึ่งต่อระบบกระเจ้าอิงซึ่งติดอยู่กับแผ่นทรายสิ่วเซอร์พิโซอิเล็กตริก (piezoelectric transducer) เมื่อมีสนามไฟฟ้าภายนอกสารและแผ่นทรายสิ่วเซอร์ (พร้อมทั้งกระเจ้าอิง) จะสั่นและเคลื่อนที่สัมพัทธ์กัน จำเป็นต้องปรับให้ระบบทำงานสอดคล้องกับสมการ (3) ซึ่งเป็นเงื่อนไขที่แสดงว่าระบบมีส่วนไว (sensitivity) สูงสุด ค่า  $\Delta d$  ที่เกิดขึ้นจะอยู่ในระดับเศษส่วนของ  $\lambda$  ของแหล่งกำเนิดคลื่นที่ใช้ สามารถบ่งชี้กำลังแยกระยะขัด (displacement resolution) ของระบบได้จากค่า  $\Delta d$  ถ้าระบบทำงานด้วยความไวสูงสุดคงที่ สม่ำเสมอตลอดเวลาในขณะที่ก่อผลการทดลองแสดงว่าระบบมีเสถียรภาพ (stability)

ในที่นี้ผลการทดลองคือตัวคูณไฟฟ้าเอกสารพุท  $V_{\text{out}}$  (output voltage) จากเครื่องขยายสัญญาณล็อกอิน (lock-in amplifier)  $V_{\text{out}}$  มีความสัมพันธ์กับ  $\lambda$  และพารามิเตอร์อื่นๆ ดังสมการ

$$V_{\text{out}} = \frac{2\pi V_{\text{pp}} d_{\text{ac}}}{\lambda} \quad (5)$$

เมื่อ  $V_{\text{pp}}$  คือขนาดของตัวคูณไฟฟ้าจากค่าสูงสุดถึงต่ำสุดที่สอดคล้องกับความเข้มแสงจากค่าสูงสุดถึงต่ำสุดตามลำดับ เป็นค่าที่บันทึกเมื่อมีการสั่นกระเจ้าอิง โดยที่ยังไม่มีการ

สั่นสารตัวอย่าง ค่า  $\Delta d$  ที่ได้จึงเป็นค่าเริ่มต้น (initial value) ของระบบ สำหรับระบบที่มีเสถียรภาพ  $V_{\text{pp}}$  จะมีค่าคงที่เมื่อให้ตัวคูณไฟฟ้าแก่สารตัวอย่างจนมีการสั่น ผลต่างทางเดินแสงในเวลาต่อมาหรือ  $d_{\text{ac}}$  จะขึ้นกับการสั่นของสารตัวอย่าง ความเข้มแสงที่รั่วแทรกสอดจะเปลี่ยนตาม  $d_{\text{ac}}$  ถ้าให้ตัวคูณไฟฟ้า  $V$  แก่สารตัวอย่าง จะได้ค่าคงที่พิโซอิเล็กตริก  $d_{ii}$  ของสารตัวอย่าง <sup>2</sup> ดังนี้คือ

$$d_{ii} = \frac{d_{\text{ac}}}{V} \quad (6)$$

แทนสมการ (5) ในสมการ (6) ได้ความสัมพันธ์ของค่าคงที่พิโซอิเล็กตริกกับ  $V_{\text{out}}$  และพารามิเตอร์อื่นๆ ดังสมการ

$$d_{ii} = \frac{\lambda V_{\text{out}}}{2\pi V_{\text{pp}} V} \quad (7)$$

ลิเชียมโนบे�ต ( $\text{LiNbO}_3$ ) เป็นวัสดุที่มีทั้งสมบัติเฟอร์โรอิเล็กตริก พิโซอิเล็กตริกและไพรโออิเล็กตริก มีสมบัติทางแสงดีเช่นไวต่อการหักเหแสง จึงเป็นที่สนใจและนำมาใช้ประโยชน์ในสิ่งประดิษฐ์ทางแสงและเสียง ค่าคงที่พิโซอิเล็กตริกของลิเชียมโนบे�ต <sup>3</sup> มีหลายรายงาน (Dankov, *et al.*, 1983; Nye, 1985; Royer and Kmetik, 1992) ค่าที่งานวิจัยนี้นำมาใช้ในการปรับเทียบ (calibration) ระบบอินเทอร์เฟอร์โรมิเตอร์คือ  $d_{33}$  ซึ่งเป็นค่าที่ได้จากการวัดด้วยเทคนิคอินเทอร์เฟอร์โรมิเตอร์แบบแมค-เซนเดอร์ (Mac-Zhender type) ที่อาศัยการแทรกสอดของคลื่น 2 ชุดที่มีความถี่แตกต่างกันเล็กน้อย

เลดเซอร์โคเนตติตาเนต (lead zirconate titanate;  $\text{Pb}(\text{Zr}_{1-x}\text{Ti}_{x})\text{O}_3$  : PZT)<sup>4</sup> เป็นเซรามิกส์พิโซอิเล็กตริกที่ได้รับความสนใจและนำมาใช้ประโยชน์อย่างแพร่หลาย มีการผลิตเซรามิกส์นี้ห้ามในทางการค้าและการทดลองในห้องปฏิบัติการต่างๆ ด้วยสัดส่วนขององค์ประกอบหลักที่แตกต่างกัน มีผลให้สมบัติทางไฟฟ้ากล (electromechanical properties) ของเซรามิกส์ชนิดนี้มีความแตกต่างกันและประสิทธิภาพและประโยชน์ใช้สอยเซรามิกส์มีความ

<sup>2</sup> เป็นค่าคงที่พิโซอิเล็กตริกในแนวความหนา สารตัวอย่างได้วั่นสนามไฟฟ้าในทิศตั้งฉากกับวิบรหั้นและข้าไฟฟ้า (IEEE Std 176, 1988)

<sup>3</sup> ลิเชียมโนบেตมีโครงสร้างผลึกไตรโภนอล มีสมมาตรแบบ 3m ซึ่งมีค่าคงที่พิโซอิเล็กตริก 4 ตัวคือ  $d_{15}$ ,  $d_{22}$ ,  $d_{31}$  และ  $d_{33}$  (Gualtieri *et al.*, 1994)

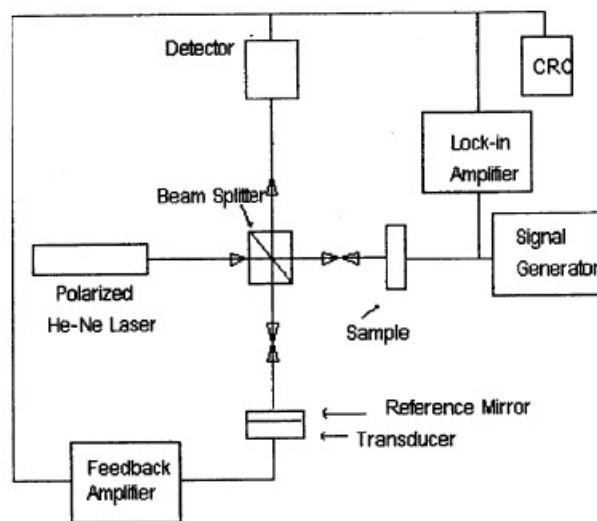
<sup>4</sup> PZT มีโครงสร้างผลึกเตาะไนโอล มีสมมาตรแบบ 4mm ซึ่งมีค่าคงที่พิโซอิเล็กตริก 3 ตัวคือ  $d_{15}$ ,  $d_{31}$  และ  $d_{33}$  (Ikeda, 1990)

หลักทรัพย์ งานวิจัยนี้ได้ทดลองใช้เทคนิคอินเทอร์เฟอร์โรเมตเตอร์วัดค่าคงที่ที่มีเชือกเด็กติกของ PZT ทั้งที่เป็นผลิตภัณฑ์ทางการค้าและที่เตรียมขึ้นในห้องปฏิบัติการ

### วัสดุอุปกรณ์และวิธีการ

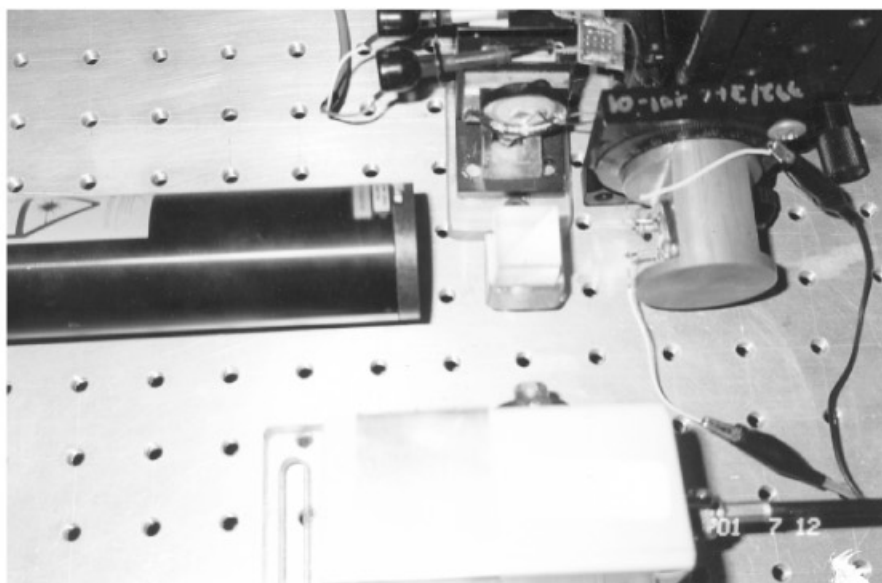
#### 1. อุปกรณ์และวิธีทดลอง

Figure 1 คือไดอะแกรมระบบอินเทอร์เฟอร์โรเมตเตอร์แบบไม่เคลสัน แสดงการจัดวางอุปกรณ์ทางแสง (optical component) และการเชื่อมต่อ กับอุปกรณ์ทางอิเล็กทรอนิกส์ (electronic component) Figure 2 แสดงให้เห็นอุปกรณ์ต่างๆ ยึดแน่นบนกระดานอوبติก (optical breadboard) มีเลเซอร์โพลาไรซ์แบบชีลีย์-เนอ่อน (Uniphase 1135p Polarised He-Ne laser) ความยาวคลื่น 628.3 นาโนเมตร ก้าลัง 10 มิลลิวัตต์ เป็นแหล่งกำเนิดแสงความถี่เดียว เลเซอร์ตัดกราฟบดตัวแบ่งแสงขนาด 20 มม.  $\times$  20 มม. และแยกออกเป็น 2 ลำคือลำที่เดินทางไปยังสารตัวอย่าง (probe beam) และไปยังกระจกอ้างอิง (reference beam) ปรับเปลี่ยนตำแหน่งและระยะการจัดวางอุปกรณ์ทางแสงให้เส้นทางรวมของลำแสงสั้นที่สุดเท่าที่จะสั้นได้ เครื่องกำเนิดสัญญาณ (DS 340 15 MHz



**Figure 1. Schematic diagram of the Michelson He-Ne laser interferometer.**

signal generator) ป้อนสัญญาณรูปไซน์ (sinusoidal signal) แอมป์ลิจูดและความถี่ต่างๆ แก่สารตัวอย่างในแนวตั้งจากกับผิวน้ำและข้าไฟฟ้าของสารตัวอย่าง แอมป์ลิจูดการสั่นของสารตัวอย่าง จะเพรียบผันตามแอมป์ลิจูดของสัญญาณ การจัดในแนวตั้งจากกับผิวน้ำหรือในแนว



**Figure 2. Pictorial view of the central area of the optical system.**

ความหนาของสารตัวอย่าง ทำให้เกิดการเปลี่ยนแปลงความเข้มแสงที่ตรวจวัดได้ด้วยหัววัดโฟโตไดโอด (BPX 65 photodiode detector) ซึ่งมีรูรับแสง (aperture) ขนาดเส้นผ่านศูนย์กลาง 2 มม. (ปรับให้จุดศูนย์กลางรั้วแทรกสอดมีขนาดใกล้เคียงหรือโดยกว่ารูรับแสงเล็กน้อย)

การรับ光โดยสิ่งแวดล้อม เช่น เสียงเครื่องปรับอากาศ กิจกรรมต่างๆ ในห้องปฏิบัติการและห้องข้างเคียง ฯลฯ เป็นสาเหตุสำคัญของการสะเทือนของอุปกรณ์ต่างๆ อันก่อให้เกิดการสั่นไหวของล้ำแสงซึ่งมีผลต่อค่า  $\Delta d$  และ  $I$  ในการรักษาสถิติภาพของระบบอินเทอร์เฟอร์โรมิเตอร์ ทำได้โดยการติดกาว (epoxy) กระเจริญขนาด 3 มม.  $\times$  3 มม. บนแผ่นทรายสีขาวซึ่งต่อกันวงจรสัญญาณย้อนกลับ (feedback circuit) สัญญาณจากหัววัดจะผ่านวงจรนี้ซึ่งจะป้อนสัญญาณต่อไปยังแผ่นทรายสีขาวเดียวกัน ทำให้แผ่นทรายสีขาวพร้อมทั้งกระจานสั่น ช่วยให้ได้ค่า  $\Delta d$  เริ่มต้นและ  $V_{pp}$  (ดูสมการ (5)) ขนาดคงที่ตลอดเวลาที่การรับ光โดยสิ่งแวดล้อมมีความถี่การสั่นสะเทือนต่ำกว่า 1 กิโลเฮิรตซ์ลงมา (เป็นช่วงความถี่ที่ควบคุมได้ด้วยวงจรสัญญาณย้อนกลับ) ในขณะทดสอบสามารถติดตามดูสัญญาณที่ออกจากหัววัดและที่เกิดจากการสั่นของกระจานได้ด้วยอสซิลโลสโคป (HM 604-3 60 MHz oscilloscope หรือ CRO)

บันทึกความถี่คงที่และแอมป์ลิจูดตั้งแต่ 1-10 โวลต์แก่สารตัวอย่าง ทดลองทำนานองเดียวกันที่ความถี่ต่างๆ ตั้งแต่ 1 กิโลเฮิรตซ์ขึ้นไป บันทึกค่า  $V_{out}$  จากเครื่องขยายสัญญาณเล็คติน (Princeton 5210)<sup>5</sup> และ  $V$  (applied or driving voltage) ค่า  $d_{ac}$  โดยอาศัยสมการ (5) เขียนกราฟระหว่าง  $d_{ac}$  และ  $V$  เพื่อตรวจสอบความสัมพันธ์เชิงเส้น (linear relationship) สำหรับสารตัวอย่างที่นำมาทดสอบการทำงานของระบบ ควรได้กราฟเส้นตรงที่มีความชัน (ดูสมการ (6)) เท่ากับหรือใกล้เคียงค่าคงที่พิโซอิเล็กตริกที่มีการรายงานและนำมาเป็นค่าอ้างอิง ถ้า

หากไม่เป็นเช่นนั้นจะต้องแก้ไขปรับปรุงระบบและอาจต้องเปลี่ยนแปลงวิธีการยืดจับสารตัวอย่าง

## 2. สารตัวอย่าง

สารตัวอย่างสำหรับทดสอบการทำงานของระบบคือลิเธียมโนเบต<sup>6</sup> ซึ่งมีลักษณะโปรงใสเป็นแผ่นสีเหลืองหนา  $1.00 \pm 0.05$  มม. พื้นที่หน้าตัด  $3 \times 3$  ตร.ม. สารตัวอย่างที่ต้องการวัดค่าคงที่พิโซอิเล็กตริกคือแผ่นกลมบาง (disk) ของผลิตภัณฑ์ PZT (GEC-Marconi poled lead zirconate titanate) และ PZT ที่เตรียมในห้องปฏิบัติการพิสิกส์วัสดุโดยอาศัยปฏิกิริยาตรง (direct หรือ solid state reaction) ของสารตั้งต้น 3 ชนิดคือออกไซด์ของตะกั่ว ( $PbO_2$ ) ออกไซด์ของเซอร์โคเนียม ( $ZrO_2$ ) และออกไซด์ของติตาเนียม ( $TiO_2$ ) อัตราส่วนของ  $Zr:Ti$  ที่ได้จากการวิเคราะห์ผลลัพธ์การเลี้ยงแบบรังสีเอกซ์ (X-ray diffraction pattern) คือ 0.52:0.48 สารตัวอย่าง PZT ที่เตรียมได้มีลักษณะทึบแสง สีน้ำตาลอ่อน พื้นที่หน้าตัดเป็นวงกลมเส้นผ่านศูนย์กลาง  $10.00 \pm 0.05$  มม. นำมาขัดผิวด้วยกระดาษทรายเบอร์ 800 จนมีความหนา  $1.10 \pm 0.05$  มม. และขัดด้วยกระดาษทรายเบอร์ 1200 จนมีความหนา  $0.1 \pm 0.05$  มม.

นำสารตัวอย่างลิเธียมโนเบตไปทำข้าไฟฟ้าโลหะ (metallization) โดยอาศัยระบบจานผิวสูญญากาศ (JEE-400 vacuum coating system) และใช้โลหะอัลミニเนียม ความมั่นคงของอัลミニเนียมจะช่วยในการสะท้อนแสงของสารตัวอย่าง สำหรับสารตัวอย่าง PZT ใช้การเงิน (silver paint) เป็นข้าไฟฟ้า ขัดผิวการเงินด้วยพงเพชร (diamond paste) จนเป็นมั่นคง จากนั้นนำสารตัวอย่าง PZT ไปผ่านการโพลิ่ง (poling process)<sup>7</sup> ที่อุณหภูมิห้อง (room temperature poling) เป็นเวลา 30 นาที ด้วยสนามไฟฟ้า 30 เมกะโวลต์/เมตร

<sup>5</sup> เครื่องมือไม่ตอบสนองต่อหักยกไฟฟ้าตรง (DC voltage) มีขีดความสามารถอ่านค่าหักยกไฟฟ้า rms (rms voltage) แอมป์ลิจูด 10 นาโนโวลต์ถึง 3 โวลต์ ช่วงความถี่ 0.5 เฮิรตซ์ ถึง 120 กิโลเฮิรตซ์

<sup>6</sup> ได้รับความอนุเคราะห์จาก Dr. I. L. Guy, มหาวิทยาลัย Macquarie ประเทศออสเตรเลีย

<sup>7</sup> สารตัวอย่างอยู่ในสนามไฟฟ้ากระแสตรงเป็นระยะเวลาหนึ่งเพื่อให้โพลาริซัชันสูงขึ้นเนื่อกรายงานกับทิศทางของสนามไฟฟ้า ขนาดของสนามไฟฟ้าที่ใช้ขึ้นกับขนาดและลักษณะของสารตัวอย่างตลอดจนวิธีการโพลิ่งที่เป็นแบบใด เช่น โพลิ่งด้วยความร้อน (thermal poling) โพลิ่งแบบโคโรนา (corona poling) เป็นต้น (Sessler, 1994)

การทดสอบในระบบอินเทอร์เฟอร์โรมิเตอร์ จะยึดติดแต่ละสารตัวอย่างกับฐานโลหะ (metallic base) ด้วยการเจนและนำรูปพื้นที่ของสารตัวอย่างไปยึดกันที่จับ (holder) Figure 2 แสดงที่จับทำด้วยทองเหลืองรูปทรงกระบอกดันเส้นผ่านศูนย์กลางและความยาวเท่ากันคือ  $3.5 \pm 0.1$  มม. เช่าผู้ด้านข้างเป็นร่องสีเหลืองจัตุรัสกว้าง  $3.0 \pm 0.1$  มม. สำหรับวงแหวนที่ฐานไว้กับที่จับ หน้าตัดด้านหนึ่งของที่จับต่อเข้ากันแบบหมุน  $360^\circ$  (Newport 481A rotary stage) ซึ่งช่วยในการปรับให้สารตัวอย่างตั้งฉากกับล้ำแสงเลเซอร์ แบบหมุนนี้ประกอบแทนที่ของ translation stage (Newport 460A translation stage) ซึ่งเลื่อนไปมาได้โดยการหมุน เอาอเรนเนียโน่ครามิเตอร์ 3 อันที่ต่ออยู่กันแท่นในลักษณะที่ทำให้ปรับระยะได้ 3 ทิศทาง (แนวตั้ง แนวขวาง และตั้ง ฉากกับเลเซอร์)

#### ผลการทดลองและวิจารณ์

Figure 3 คือกราฟระยะขั้จดในสารตัวอย่างลิเธียม ไนโอบิทเป็นพังก์ชันกับศักย์ไฟฟ้า  $2-10$  โวลต์ ที่ความถี่  $1$  กิโลเฮิร์ตซ์ จะเห็นว่าเป็นกราฟเชิงเส้น ในช่วงความถี่  $1-10$  กิโลเฮิร์ตซ์ สารตัวอย่างมีพฤติกรรมทางพิโซอิเล็กตริก ทำงานอย่างเดียวกันและค่าคงที่พิโซอิเล็กตริกเฉลี่ยในช่วงความถี่นี้เท่ากับ  $(9.66 \pm 0.1) \times 10^{-12}$  เมตร/โวลต์ ในขณะที่

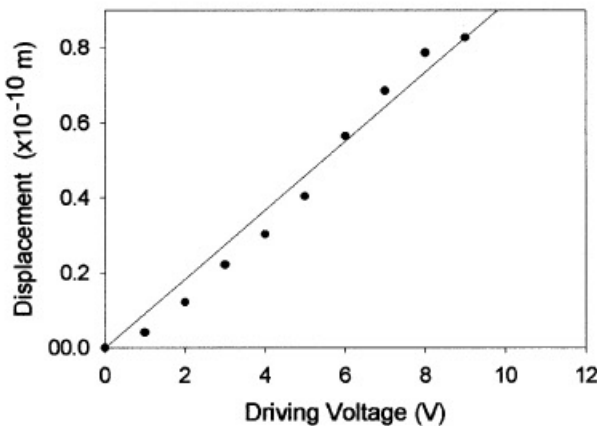


Figure 3. Variations in displacement with driving voltage measured at 1 kHz, for lithium niobate.

Royer และ Kmetik (1992) รายงานผลเท่ากับ  $9.55 \times 10^{-12}$  เมตร/โวลต์ ระยะขั้จดที่ได้จากการทดสอบด้วยลิเธียมไนโอบิทมีค่าอยู่ในระดับ  $10^{-12}$  เมตร ซึ่งก็คือกำลังแยกระยะขั้จดของระบบที่มีเลเซอร์อีเลี่ยม-นีโอนความยาวคลื่น  $623.8$  นาโนเมตรเป็นแหล่งกำเนิด ระบบจะไม่สามารถทดสอบสารตัวอย่างที่มีระยะขั้จดน้อยกว่า  $10^{-12}$  เมตร ได้ อย่างไรก็ตามสำหรับเซรามิกส์ระบุ Pb(Zr, Ti)O<sub>3</sub> ไม่ว่าอัตราส่วนใดๆ มีค่าคงที่พิโซอิเล็กตริกสูงกว่า ลิเธียมไนโอบิท (Gualtieri *et al.*, 1994) จึงคาดว่าสำหรับศักย์ไฟฟ้าเท่ากัน ระยะขั้จดใน PZT มีค่ามากกว่าของลิเธียมไนโอบิทและสามารถตรวจวัดได้ด้วยอินเทอร์เฟอร์โรมิเตอร์

จากการทดสอบกับผลิตภัณฑ์ PZT ทั้งแผ่นซึ่งมีพื้นที่หน้าตัดประมาณ  $10$  เท่าของแผ่นลิเธียมไนโอบิท ได้เลื่อนตำแหน่งจุดปลายของล้ำแสงเลเซอร์ (เส้นผ่านศูนย์กลาง  $0.68$  มม.) เพื่อบันทึกผลการทดลองทั้งในแนวอน และแนวตั้งตลอดหั้งผิวน้ำสารตัวอย่าง ค่านวณค่า  $d_{33}$  ที่ตำแหน่งต่างๆ ดังแสดงใน Figure 4 จะเห็นว่ามีความแตกต่างของค่าวัดอย่างมาก สาเหตุจากสารตัวอย่างอาจยึดติดกับฐานไม่แน่นและไม่สม่ำเสมอทำให้เกิดการบิด (bending) ในระหว่างได้รับสนามไฟฟ้าความถี่สูง จากการทดลองกับสารตัวอย่างที่มีขนาดเล็กลง (พื้นที่หน้าตัด  $3$  มม.  $\times 4$  มม.) และเลือกตำแหน่งจุดปลายของเลเซอร์ใกล้จุดศูนย์

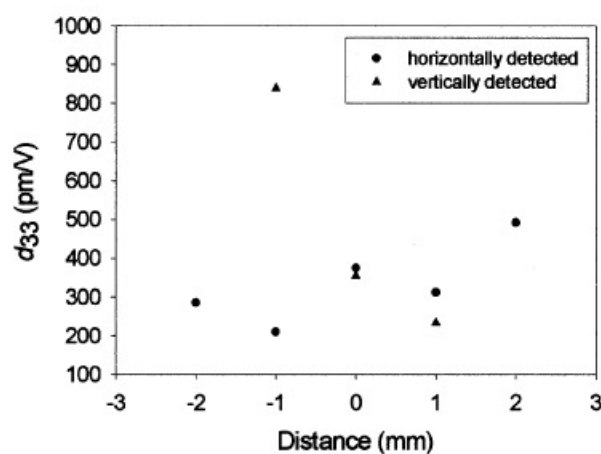


Figure 4. Variations in the  $d_{33}$  measured across the surface of the commercial PZT.

กล้องสารตัวอย่างได้ผลการทดลองดังกราฟใน Figure 5 ความชันกราฟนี้เท่ากับ  $270 \times 10^{-12}$  เมตร/โวลต์ Figure 6 เป็นกราฟค่าคงที่พิโซอิเล็กตริกของ PZT เป็นพังก์ชัน กับความถี่ในช่วง 1-10 กิโลเอิร์ตซ์ พบว่าที่ความถี่ 9 กิโลเอิร์ตซ์ ค่า  $d_{33}$  สูงผิดปกติ แสดงว่าความถี่นี้เป็นความถี่ที่เกิดเรโซแนนซ์ทางกล (mechanical resonance) ของสารตัวอย่าง จากการทดลองทำนองเดียวกันกับสารตัวอย่าง PZT ที่เตรียมขึ้นพบว่ามีค่าคงที่พิโซอิเล็กตริกเท่ากับ 33.1

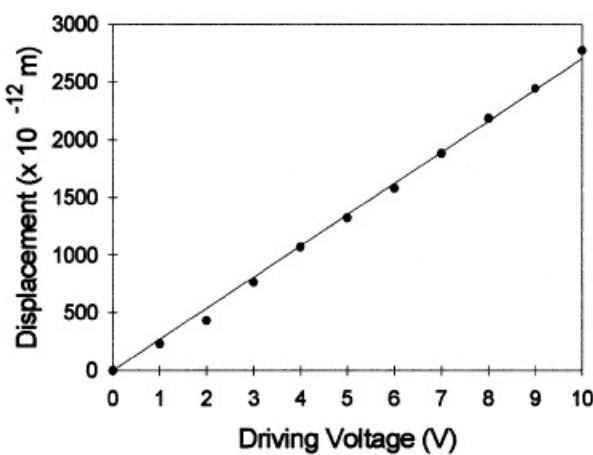


Figure 5. Variations in displacement with driving voltage for commercial PZT.

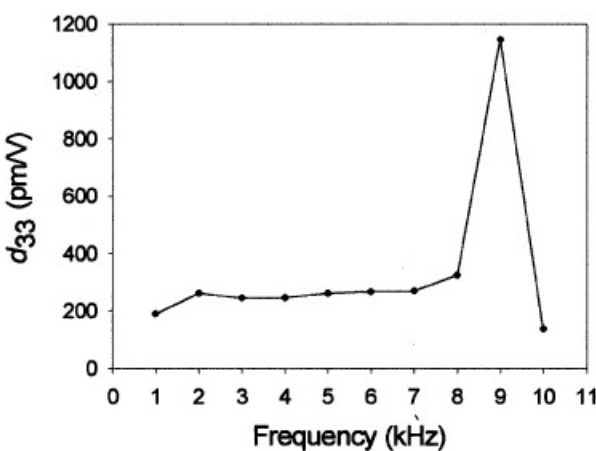


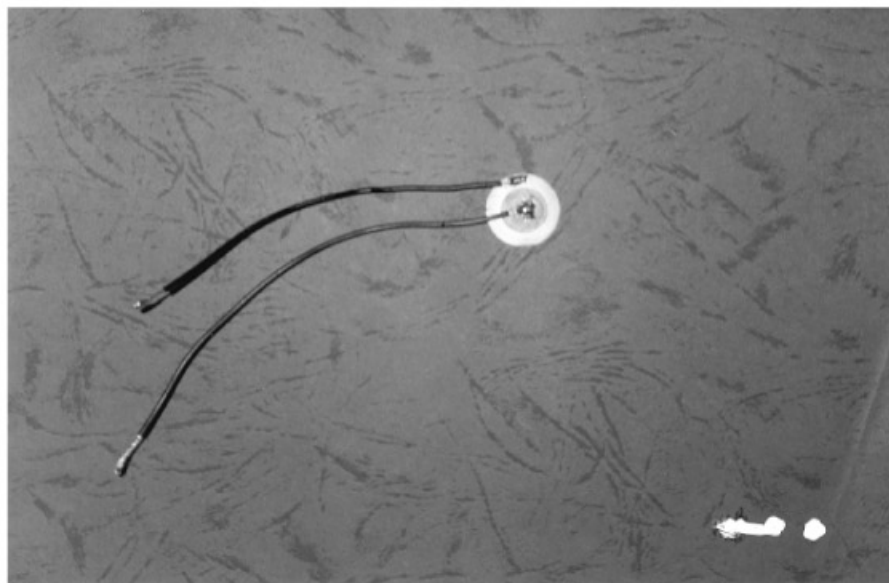
Figure 6. Plot of the measured  $d_{33}$  over the frequency range of 1 - 10 kHz for commercial PZT.

$\times 10^{-12}$  เมตร/โวลต์ ชิ้นงาน (workpiece) ที่ทำจาก PZT ที่เตรียมขึ้น (Figure 7) เมื่อได้รับสัญญาณไฟฟ้าในช่วงความถี่ 3 - 6 กิโลเอิร์ตซ์ จะมีการสั่นทำให้เกิดเสียงในช่วงที่หูมนุษย์ได้ยิน (audible sound)

### สรุปผลการทดลองและข้อเสนอแนะ

ระบบอินเทอร์เฟอร์โรมิเตอร์แบบไม่เคลือบในห้องปฏิบัติการพิสิกส์วัสดุ ภาควิชาพิสิกส์ มีขีดความสามารถของการแยกความชันจัดได้ในระดับ  $10^{-12}$  เมตร ผ่านการปรับเทียบระบบด้วยวัสดุพิโซอิเล็กตริกที่รู้ค่าคงที่พิโซอิเล็กตริกที่เนื่อง คือลิมิเตอร์โนเบตด้วยความแม่นยำ 2% ระบบมีความละเอียดพอเพียงต่อการตรวจจับการเปลี่ยนแปลงขนาดของเซรามิกส์เลดเชอร์โคเนติตาเนต ค่าคงที่พิโซอิเล็กตริกที่ได้สามารถบ่งชี้คุณภาพของสารตลอดจนกระบวนการเตรียมสารว่ามีประสิทธิภาพเพียงใด (Klee et al., 1992) ค่าคงที่พิโซอิเล็กตริกของผลิตภัณฑ์ PZT ที่ได้จากการวัดด้วยเทคโนโลยีคันเทอร์โรมิเตอร์แบบไม่เคลือบเท่ากับ 270 พิโคลเมตร/โวลต์ ซึ่งปัจจุบันเซรามิกส์ชนิดนี้หมายความสำหรับทำเป็นทรานสิสเตอร์กำลังสูง (high power transducer) (Mason, 1950) จากการนำ PZT ที่เตรียมขึ้นมาทำเป็นชิ้นงาน พบว่าเมื่อได้รับสัญญาณไฟฟ้า แผ่นเซรามิกส์จะสั่นเกิดเสียงขึ้น เหมาะสำหรับทำเป็นตัวกันน้ำ (buzzer) ประยุกต์ใช้ในอุปกรณ์ต่างๆ ได้ เช่น เครื่องส่งเสียงเตือน (alarm) เครื่องคิดเลข (calculator) เป็นต้น

งานวิจัยต่อเนื่องคือการตรวจสอบระดับสัญญาณรบกวนทางกลและอิเล็กทรอนิกส์ของระบบอินเทอร์เฟอร์โรมิเตอร์ซึ่งมีช่วงกว้างความถี่ (bandwidth) 0.0125 เอิร์ตซ์ ทั้งนี้จะช่วยในการปรับปรุงกำลังแยกระยะของระบบให้มีความละเอียดเข้าใกล้ค่าทางทฤษฎีคือ  $10^{-14}$  เมตร (Kwaaitaal et al., 1980) ซึ่งจะเพิ่มขีดความสามารถของระบบให้วัดค่าคงที่พิโซอิเล็กตริกได้แม่นในวัสดุพิโซอิเล็กตริกที่มีขนาดของการเปลี่ยนแปลงน้อยมากๆ (เมื่อเทียบกับเซรามิกส์ PZT) เช่น สารกึ่งตัวนำ ซึ่งพบว่าการเปลี่ยนแปลงขนาดมีผลกระทบอย่างสูงต่อคุณสมบัติของสิ่งประดิษฐ์ที่ทำจากสารกึ่งตัวนำนั้น (Muensit and Guy, 1998)



**Figure 7. Workpiece made of sintered PZT disk of 10 mm diameter and 0.1 mm thickness glued on the brass plate to act as a bottom electrode.**

#### กิตติกรรมประกาศ

ขอขอบคุณ Dr. I.L. Guy ภาควิชาฟิสิกส์ มหาวิทยาลัย Macquarie ประเทศออสเตรเลีย ที่อนุเคราะห์สารตัวอย่างลิเธียมนิโวเบตและผลิตภัณฑ์เซรามิกส์ ขอขอบคุณอาจารย์ชัชชัย พุทธช้อน และนายเจษฎา คำของ ที่ช่วยเตรียมสารตัวอย่างเซรามิกส์ในห้องปฏิบัติการฟิสิกส์ วัสดุ ขอขอบคุณวีระ ไทยสยาม และคุณเจริญ อัมโรที่ช่วยทำการคานอบดีกิ ทำที่จันย์คุปการ์นและช่วยเคลื่อนย้ายเครื่องมือ ขอขอบคุณภาควิชาฟิสิกส์ที่สนับสนุนค่าวัสดุและอำนวยความสะดวกในการใช้ครุภัณฑ์ของภาควิชา งานวิจัยนี้ได้รับทุนอุดหนุนการวิจัยจากเงินรายได้มหาวิทยาลัยสังขละคนครินทร์ประเภททั่วไปประจำปี 2542 และทุนส่งเสริมวิทยานิพนธ์ระดับปริญญาโท-เอกของทบทวนมหาวิทยาลัย ประจำปี 2544

#### เอกสารอ้างอิง

Dankov, I. A., Tokarev, E. F., Kudryashov, G. S. and Belobaev, K. G. 1983. Elastic, piezoelectric, and dielectric properties of monocrystalline lithium

niobate between 78 and 800 K. Inor. Mat., 19(7): 1049-1054.

Gualtieri, G. J., Kosinski, J. A., and Ballato, A. 1994. Piezoelectric materials for acoustic wave applications. IEEE Trans. Ultrason., Ferroelec., Freq. Contr., 41(1): 53-59.

Hariharan, P. 1992. Basics of interferometry, Academic Press, Inc., New York.

IEEE Standard on Piezoelectricity (ANSI/IEEE Standard 176-1987). 1988, The Institute of Electrical and Electronics Engineers, Inc., New York.

Ikeda, T. 1990. Fundamentals of piezoelectricity, Oxford University Press, New York.

Klee, M., Eusemann, R., Waser, R., Brand, W. and van Hal, H. 1992. Processing and electrical properties of  $Pb(ZrxTi1-x)O_3$  ( $x=0.2-0.75$ ) films: comparison of metallo-organic decomposition and sol-gel processes, J. Appl. Phys., 72(4): 1566-1575.

Kwaaitaal, Th., Luymes, B. J., and van der Pijll, G.A. 1980. Noise limitations of Michelson laser interferometers, J. Phys. D : Appl. Phys., 13: 1005-1015.

- Mason, W. P. 1950. Piezoelectric crystals and their application to ultrasonics, D. Van Nostrand Co., Inc., New York.
- Muensit, S. and Guy, I. L. 1998. The piezoelectric coefficients of gallium nitride thin films, *Appl. Phys. Lett.* 72(15) : 1896-1898.
- Nye, J. F. 1985. Physical properties of crystals. 2<sup>nd</sup> ed., Oxford University Press, New York.
- Royer, D., and Kmetik, V. 1992. Measurement of piezoelectric constants using an optical heterodyne interferometer. *Electron. Letts.* 28(19): 1828-1830.
- Sessler, G. M. 1994. Poling and properties of polarization of ferroelectric copolymers and composites, *Trans. Tech. Publications* : 248-274.
- Zhang, Q. M., Pan, W. Y. , and Cross, L. E. 1988. Laser Interferometer for the study of piezoelectric and electrostrictive strains, *J. Appl. Phys.*, 63(8): 2492-2496.